

## II-42 河口砂洲の安定断面について

大阪大学工学部 正員 横木 亭

### 1. 緒言：

河口閉塞の主因となる河口砂洲は、河川流のフラッシュ能力と波による閉塞能力とのつり合いで、その流水断面が安定する。河川流による河道安定断面に関する研究は多く、Per Brunn 及び野田・木村らは、河道の安定断面に関する Lane の考え方を河口地形に適用して実測結果を整理している。しかし、それも河口砂洲に対するフラッシュ効果をみて河口砂洲の安定断面であり、波の閉塞能力については言及していない。本論文においては、まず河川流のみが存在する場合の安定断面形に亘り、Lane の考え方を実験的に検討するとともに、波と河川流が存在する場合の断面形とその安定条件について検討を加えよう。

### 2. 実験方法と断面の時間的変化

実験は(1)：波のみ存在する場合の地形変化、(2)：その後河川流のみを作用せしめた場合の安定断面及び、(3)：波と流れを両方作用せしめた場合の地形変化の3種類について行なったが、作用せしめる波は冲浪振高 6 cm、冲浪周期 1.25 sec、冲浪入射角度 45° の一種類とし、河川流のみを作用せしめる場合は波のみによって形成された砂洲に作用時間(35時間)Q = 3.6 ~ 12 1/s までの3種類の河川流量を4時間毎に下せしめて安定断面をえた。また、波と流れを両方させた場合は、前述の特性をもつ波に対して Q = 3.2 ~ 9.9 1/s までの4種類の河川流量を作用せしめてその年断面を求めた。なお初期河口中には 95 cm で河口水深は 4.5 cm、河川流の初期 Froude 数は 0.149 ~ 0.367、底質は比重 2.65、中央粒径 d<sub>50</sub> = 0.25 mm である。

図-1 は波と流れが共存する場合の河口部の流水断面積の時間的変化を示したもので、図中 A<sup>\*</sup> は流水断面積 A をその断面の最大水深 h<sub>c</sub> の 2 乗で除した無次元量である。また図中の太い実線は河川流がない場合である。この図から河川流がない場合、ある時は河川流量が小さい場合は極めて安定断面をとりにくいか、一般に 2 ~ 3 時間ではほぼ安定断面をとることがわかる。

### 3. 河川流のみによる安定断面

先に述べたように波のみによる安定断面は長時間の波の作用によっても立たないが、一応 3 時間 30 分波を作用させた後、地形を河川流作用の初期地形としてその後河川流を作用せしめた。この場合の安定断面形状としては限界掃流力の概念から導いた式で示す Lane の安定断面形がある。

$$z/h_c = \cos f(y/h_c) \tan \phi \quad \dots \dots \dots (1)$$

ここで、z: 鉛直方向の距離、h<sub>c</sub>: 最大水深、y: 水平距離。

$\phi$ : 砂粒の水中安息角である。本実験においては上流からの

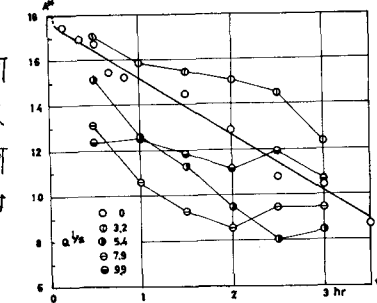


図-1 河口地形の時間的変化(波と流れ共存.)

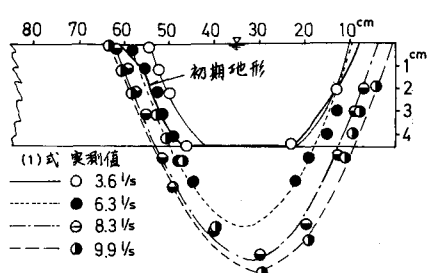


図-2 河川流のみによる安定断面形

流送土砂のない流量を運んでいるので、静的安定期面を示しているものと考えられる。したがって(1)式で示す断面形は最も流水断面形を示すものと考えられる。図-2は $\tan \phi = 0.5$ として河口砂洲の開口部最小断面をとり、(1)式と比較してみる。なお(1)式中の $h_c$ は、 $h_c = T_c / sg I$  ( $I$ : 流路の断面勾配) で求められ、では $S U_c^2$  ( $U_c^*$ : 砂粒の限界摩擦速度) によって求められた値である。この図から明らかのように Lane の理論断面と実験値とは極めてよく一致するようである。

4. 波と流れが共存する場合の安定期面： 河川からの流出土砂がない場合には、河口断面積と漂砂の関係は

$$\partial A_B / \partial t = \{ 1/(1-\lambda) \} \cdot \partial Q_x / \partial x \quad \dots \dots \dots \quad (2)$$

で与えられる。ここに入は底質の空隙率、 $Q_x$ は海岸線に沿う単位時間当りの沿岸漂砂量、 $x$ は海岸線に沿ってとった距離である。したがって一定時間後に形成される河口断面積は次式で与えられる。

$$A_B = \{ 1/(1-\lambda) \} \cdot \{ \partial Q_x / \partial x \} dt \quad \dots \dots \dots \quad (3)$$

一方、ある断面積以下になると流れの力によって砂洲は崩壊し、3. 述べたように河川流に対する安定な断面となるようになる。この河川流によって崩壊し安定期面をとる場合には、その流水断面積はエネルギー方程式より砂洲面、摩擦損失を無視すると次式で与えられる。

$$A_B = 1/C \{ 2g(h_A - h_B)/Q^2 + 1/A_A^2 \}^{-1/2} \quad \dots \dots \dots \quad (4)$$

ここに、 $h_A$ 、 $h_B$ は上流及び河口での平均水深であり、 $A_A$ は上流域での流水断面積、 $Q$ は河川流量、 $C$ は流量係数、 $g$ は重力加速度である。したがって、(3)式と(4)式を等置すると波と流れが共存する場合の安定期面を維持するための沿岸漂砂量と河川流量の関係は求められるはずである。(4)式において $h_B$ と $h_c$ は一定の関係があり、またもし波と流れが共存する場合においても(1)式が成立するものとし、また野田・木村が求めたように波と流れが共存する場合において、 $A_B/h_c^2$ と $B/h_c$  ( $B$ : 河口の断面積) との間に(5)式に示すような関係が成立するものとすると、安定期面における $Q_x$ および河川流量と $h_c$ の関係は(6)式で表わされる。

$$\frac{A_B}{h_c^2} = m = \begin{cases} B/h_c - (\pi - 2)/\tan \phi & (\text{中央水平部のある場合}) \\ \frac{\pi}{4} \cdot B/h_c - 2/\tan \phi & (\text{中央水平部のない場合}) \end{cases} \quad (5)$$

$$\frac{1}{(1-\lambda)} \int \frac{\partial Q_x}{\partial x} dt = \frac{1}{C} \left\{ \frac{2g(4 - h_A)}{Q^2} + \frac{1}{A_A^2} \right\}^{-1/2} \quad (6)$$

ただし、 $\phi = Q^2/2g \{ C(mh_c^2)^2 - A_A^2 \} - h_c/x$ 、 $\alpha = h_c/h_B$ である。上式の $h_c$ は上述のように $h_c = T_c / sg I$  であり、 $T_c = S U_c^2$  であるから底質特性を考慮することによって $h_c$ が求められる。図-3は流れと波が共存場における安定期面が(1)式で示されたかどうかを示したものであり、図-4は $A_B/h_c^2$  と $B/h_c$  の関係を示す。なお流れは上述の $Q_x$ に対して影響を与えるので、その効果についても今後検討すれば(6)式を完全に解明することができる。

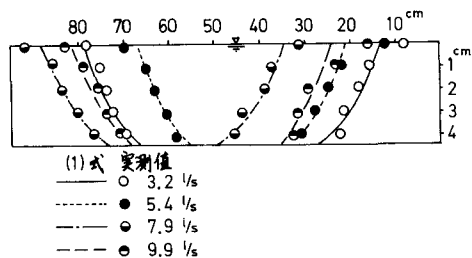


図-3. 波と流れが共存場における安定期面

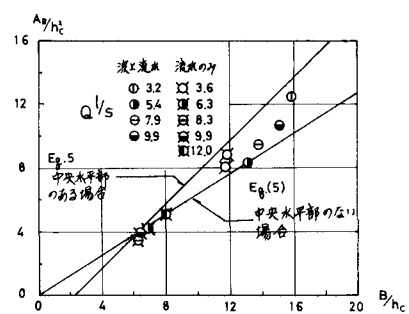


図-4.  $A_B/h_c^2$  と  $B/h_c$  の関係